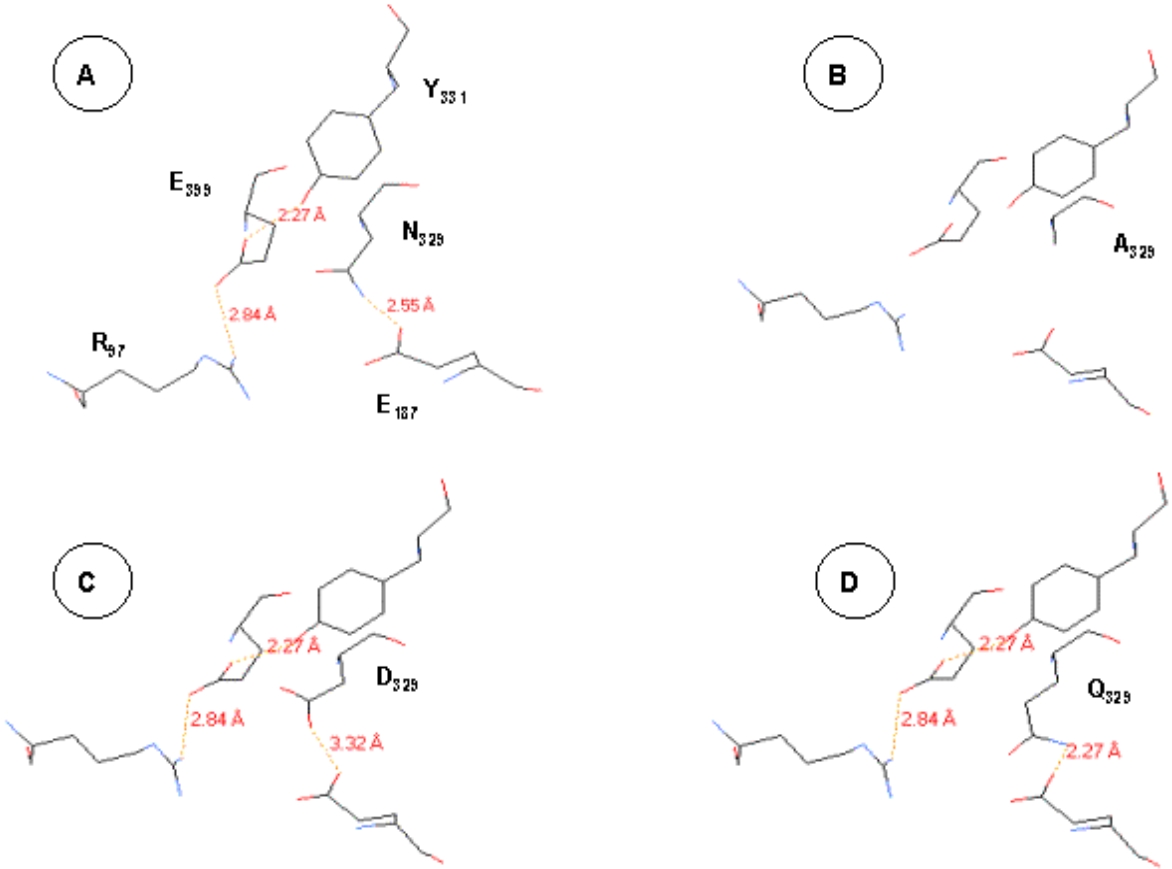

Figura 22: Possíveis estruturas resultantes das mutações do resíduo N_{329}. A – Sfβgli50 selvagem. B – Sfβgli50 N_{329}A. C – Sfβgli50 N_{329}D. D – Sfβgli50 N_{329}Q. Um modelo estrutural da Sfβgli50 foi elaborado computacionalmente no Swissmodeller utilizando as β-glicosidases de *B. polymyxa* e *S. alba* como modelo